

## Impact of Biscuits Fortified with Isolated Sulfated Polysaccharides from *Cladophora Fracta*: Rheological, Functional and Sensory Properties.

Mohanad Khaled Jasem<sup>1</sup>, Abd-Alwahab Merai<sup>1</sup> and Adnan Ali Nizam<sup>2</sup>

<sup>1</sup> Department of Food sciences, Faculty of agriculture, Damascus University, Damascus, Syria.

<sup>2</sup> Department of Plant Biology, Faculty of Science, Damascus University, Damascus, Syria

Received on 30/10/2023 and Accepted for Publication on 29/8/2023.

### ABSTRACT

The research axes are directed toward integrating biotechnology with the manufacture of functional foods. This research aimed to extract sulfated polysaccharides (SPs) from green freshwater algae *Cladophora fracta* using ultrasonic-assisted extraction methods and acetone 70% as a solvent, then purify it by Sephadex gel G-100 chromatography, and determine its components, also to investigate its effect on the dough rheological properties, and on increasing the antioxidant properties of biscuits. The yield from the extraction process was 12.2%, which was subjected to the purification process to give two fractions F1 and F2. Results show that the purified SPs consists of sugar units, protein, uranic acids, and a sulfate group, based on the near-infrared spectrum (FT-IR). We determined the quantity contents in personages in fractions F1 and F2: (60,68.2)% carbohydrate; (2.41,1.38)% protein; (18.9,10.90)% uronic acids; 8.55,9.5% sulfate respectively, and the antioxidation activity of crude, F1, and, F2 on 10% concentration were (34,35,35.3)%, respectively based on DPPH• test, and (7,18,12)% respectively based on ABTS•+ test. The sugar units consisted of four monosaccharides (galactose 11.8%, rhamnose10.9%, xylose10.3%, and arabinose 12.9%) based on high-performance liquid chromatography (HPLC). Adding purified SPs (F1 and F2) to durum wheat flour at rates of (0.5, 1,1.5)% affected the rheology properties, and changed Farinograph and extensograph indicators. Fractions from SPs are redox agents; they reduce Dough development time and Stability time compared to control, which has development and Stability times of 3.9 and 3.6 minutes, respectively. This addition also increased the extensibility of the dough, the increase in extensibility was accompanied by an increase in the concentration of F1 and F2, and the highest values of extensibility were 158 and 160 mm, respectively when adding F1 and F2 to flour at 1.5% percentages. This indicates an increase in the weakness of the dough, while this addition causes a decrease other than the extensograph indicators. F2 was added in proportions of 0.5, 1, and 1.5% to wheat flour to manufacture biscuits fortified with SPs, the increased percentages of SPs caused darkness for biscuits. The sensory evolution was done, and all reviewers agreed that the treatment with 1 % of F2 was the best in accept, and this addition increased the anti-oxidative activity of fortified biscuits based on the test of DPPH• and ABTS•+ throughout the storage period. This increase was accompanied by an increase in the percentage of SPs compared to the control, where the 50% inhibitory concentration scavenging of free radicals 50% (IC50) in the control treatment was 5.37 g/g for the DPPH• test and 5.72 g/g for the ABTS• + test, while the treatment that was used with it 1.5% of F2 was 0.16 g/g for

\* Corresponding author E-mail: [mohanad.kj83@damascusuniversity.edu.sy](mailto:mohanad.kj83@damascusuniversity.edu.sy)



the DPPH• test and 0.01 g/g for the ABTS++ test, which did allow the manufactured biscuit to be a functional food.

**Keywords:** Cladophora fracta, sulfate polysaccharides, chemical characterization, rheology properties, biscuit, antioxidation

---

## تأثير البسكويت المدعم بعديد السكارايد الكبريتني المعزول من طحلب كلادوفورا فراكتا (Cladophora fracta): الخصائص الريولوجية والوظيفية والحسية

مهند خالد جاسم<sup>1\*</sup>, عبد الوهاب مرعي<sup>1</sup>, عدنان علي نظام<sup>2</sup>

<sup>1</sup> قسم علوم الأغذية، كلية الزراعة، جامعة دمشق

<sup>2</sup> قسم علم الحياة النباتية، كلية العلوم، جامعة دمشق

تاريخ استلام البحث 30/10/2022 و تاريخ قبوله 29/8/2023

### ملخص

إن المحاور البحثية تتجه إلى دمج التقنية الحيوية مع تصنيع الأغذية الوظيفية، حيث يهدف هذا البحث إلى استخلاص عديد السكارايد الكبريتني من طحلب كلادوفورا فراكتا (طحلب الماء العذب الأخضر) بتقنية الأمواج فوق الصوتية واستعمال الأسيتون 70% كمنبب، ثم تقييده باستعمال هلام الترشيح G-100 الكروماتوغرافي وتحديد مكوناته، إضافة إلى التحري عن تأثيره على الخواص الريولوجية للعجين، وعلى زيادة الخواص المضادة للتأكسد في البسكويت. بلغ المردود من عملية الاستخلاص 12.2%， الذي أخضع لعملية التقنية بهلام الترشيح ليعطي قمتيين من الأجزاء المفصولة تدعى F1 وF2، وتبين أن عديد السكارايد الكبريتني المنقى يتكون من وحدات سكرية، بروتين، أحماض يورانية ومجموعة السفريل بناء على طيف الأشعة تحت الحمراء القريبة (FT-IR) وتم تقيير هذه المكونات بالنسبة المئوية كربوهيدرات (60.06 و 68.2%)، بروتين (2.41 و 1.38%)، أحماض يورانية (18.9 و 10.90%)، سلافات (8.55 و 9.5%) على التوالي. وتم تقيير الفعالية المضادة للتأكسد لعديد السكارايد الخام والمنقى منه (F1) و (F2) على تركيز 10% بناء على اختبار ABTS+ على التوالي. 34.3% على الترتيب، أما بناء على اختبار DPPH (7, 18, 12%) على التوالي. وبناء على التحليل الكروماتوغرافي للسائل على الأداء تألف الوحدات السكرية من أربعة سكريات بسيطة مختلفة (الجالك توز 11.8%， الaramonوز 10.9%， الكزابلوز 10.3% والأرابينوز 12.9%). تم إضافة الأجزاء المفصولة المكونة لـ F1 و F2 من عديد السكارايد الكبريتني المنقى إلى دقيق القمح الصلب بنسبة 1 ، 0.5% على التوالي، وقد أثرت كلا القمتيين على الخواص الريولوجية للعجين، وغيرت في مؤشرات الفاريونوغراف والإكتسوسوغراف؛ وقد ادت إلى تخفيض زمن تطور العجين وثباته مقارنة مع الدقيق بدون إضافتها: 3.9 و 3.6 دقيقة على التوالي. كما عملت هذه الإضافة على زيادة مرونة العجين، حيث ترافقت زيادة قيمة المرونة بازدياد تركيز F1 و F2، وكانت الأعلى عند استعمال التركيز 1.5% من عديد السكارايد الكبريتني المنقى المضاف، حيث كانت 158 و 160 مم على التوالي، مما يشير إلى ازدياد ضعف العجين، وأدت إضافة عديد السكارايد الكبريتني المنقى على انخفاض في بقية مؤشرات الإكتسوسوغراف . ادت إضافة الأجزاء المفصولة المكونة للقمة F2 بنسبة 1.5% إلى دقيق القمح بغرض تصنيع البسكويت المدعم بعديد السكارايد الكبريتني إلى ارتفاع نسبة عديد السكارايد الكبريتني المضاف مما جعل البسكويت أكثر قنامة، وتم إجراء التقييم الحسي للبسكويت المدعم، حيث اتفق جميع المحكمين بأن المعاملة التي استعمل معها عديد سكارايد كبريتني بنسبة 1% هي الأفضل من حيث القبول العام. كما أدى تدعيم البسكويت بعديد السكارايد الكبريتني المنقى F2 إلى زيادة الفعالية المضادة للتأكسد للبسكويت المدعم بناء على اختبار ABTS+ وذلك طوال فترة تخزينه، وترافق هذه الزيادة بزيادة نسبة عديد السكارايد الكبريتني المضاف مقارنة بالشاهد DPPH+ إذ بلغت نسبة التركيز الذي يضمن كنس الجنور الحرارة 50% ( IC50 ) في معاملة الشاهد 5.37 غ/غ فيما يتعلق بالاختبار DPPH+ و 5.72 غ/غ لاختبار ABTS+، وتقوّت المعاملة التي استعمل معها 1.5% عديد السكارايد الكبريتني المنقى على بقية المعاملات، حيث وصلت قيمة IC50 إلى 0.16 غ/غ لاختبار ABTS+ و 0.01 غ/غ لاختبار DPPH+ ما جعل البسكويت المصنوع ان يصبح من الأغذية الوظيفية.

**الكلمات الدالة:** طحلب الكلادوفورا، عديد السكارايد الكبريتى، الخواص الكيميائية، الخصائص الريولوجية، البسكويت، الخواص المضادة للتأكسيد.

تصنيعه، وانخفاض تكلفته وطعمه المرغوب، وانخفاض نسبة الماء فيه الأمر الذي يجعله يخزن لفترات طويلة (Chauhan et al., 2014; et al., 2015 Misra et al., 2014; et al., 2015) وعلى العموم فان له نوعان قاسي وطري اعتمادا على المواد الداخلة في تصنيعه (Mamat and Hill,2018).

تعتمد خواص البسكويت على نوعية وكمية المكونات المستعملة لاسيما الدقيق، إلى جانب ظروف التصنيع مثل مدة العجن وفترة الراحة والخبز، إذ تؤثر الخواص الريولوجية لعجينة البسكويت في جودته (Manohar and Rao,1997)، ونضاف عوامل تعديل الغلوتين لتحسين الخصائص الريولوجية لعجين البسكويت، مثل الصوديوم مينا بيسليفيت (SMS) الذي يشق الروابط ثنائية الكبريتيد بين جزيئات الغلوتين وداخل الجزيء نفسه، ما يؤدي إلى انخفاض الوزن الجزيئي للبروتين وازيداد تمدد العجين (Abedi and Pourmohammadi,2020).

الوظيفية Functional foods هي أي غذاء أو مكونات غذائية تحمل الفائدة الصحية للجسم وتحل من المخاطر (Plaza et al.,2009; Borowitzka et al.,2013)، ولما كانت المركبات الكيميائية ذات المصدر الططبي مثل السكريات والزيوت ذات فائدة للصحة فهي تستأثر بأهمية كبيرة في أسواق الطعام والشراب في العالم (Sang Vo and Kim, 2013)، فعلى سبيل المثال استعمل الحمض الدهني أوميغا 3 المستخلص من الطحلب *Isochrysis galbana* في تدعيم البسكويت (Gouveia et al., 2008) كما تم أيضاً تدعيم البسكويت بعديد السكارايد المنتج من بكتيريا *Lactobacillus helveticus* (Hussein et al.,2010)، وتستعمل هذه السكريات تجارياً في الصناعات الغذائية والدوائية باعتبارها بوليمرات حيوية. وتعتبر الطحالب مصدراً طبيعياً رخيص الثمن للسكريات، ذات شحنة سالبة بسبب الارتباط بين أيونات مجموعة الكبريتات والوحدات السكرية. (De Jesus Raposo et al.,2014).

## المقدمة

يعد القمح من أهم المحاصيل الزراعية في جميع أنحاء العالم نظراً إلى استخراج الدقيق منه ولاحقاً الدخول في صناعة المخبوزات، حيث يكون بعض أصناف القمح الطري مناسباً لصناعة البسكويت مثل *Triticum aestivum* ويكون النوع القاسي *Triticum durum* مناسباً لصناعة المعكرونة (Liu et al.,1996; Mamat and Hill,2018) البروتين الأساسي الموجود في دقيق القمح فهو الغلوتين، والذي يتكون من جزأين الغليادين و بلمر الغلوتينين، و الغلوتين هو العنصر الرئيس في صناعة المخبوزات، ومسؤول عن خاصية المطاطية (Ooms and Delcour,2019)، لذا فإن أي إضافة أو استبدال لدقيق القمح سوف تؤثر على خواص العجين (Delcour et al., 2012) ، و العامل الحاسم في مدى ملائمة أنواع القمح لصناعات المخبوزات المختلفة هو طبيعة الشبكة الغلوتينية (Kaushik, et al., 2019)، في صناعة الخبز يجب أن تقوم الشبكة الغلوتينية باحتجاز الغاز لكي يكون حجم رغيف الخبز مناسباً، ويتحقق ذلك عندما يتمتع بروتين الدقيق بالقوية والمطاطية في حين أن المرونة تكون مطلوبة للدقيق الداخل في صناعة البسكويت (Kumar et al., 2013). أجزت العديد من الأبحاث التي من شأنها التعديل في الخواص الريولوجية للغلوتين مثل عوامل الأكسدة وعوامل الإرراجع (Liu et al., 1996; Sandhu et al., 2011)، إذ تكسر عوامل الإرراجع الروابط ثنائية الكبريت بين جزيئات البروتين وضمن الجزيئة الواحدة، أي ينخفض الوزن الجزيئي للبروتين وتزداد مرونته (Abedi and Pourmohammadi,2020)، وضمن هذا السياق عملت إضافة عديد السكارايد الكبريتى (الكارجينان) إلى دقيق القمح إلى إنخفاض في قيم المطاطية للعجين (Leon et al.,2000). توصف المخبوزات بأنها واسعة الانتشار بين الشعوب (Caleja et al., 2017) مثل البسكويت، فهو من الوجبات الخفيفة بسبب وفرة المواد الأولية الداخلة في تصنيعه وسهولة

ولاحقاً تشكل الالدهيدات والكيتونات (Abd El Baky *et al.*, 2015)، مما يستوجب تدعم المخبوزات بعض الإضافات التي تمكّنها من زيادة قيمتها الغذائية وإطالة مدة حفظها، وعليه فإن إضافة المركبات الطحلبية يلفت الانتباه، وهكذا يهدف هذا البحث إلى استخلاص عديد السكاريد الكبريتي، تقييته وتحديد مكوناته كماً ونوعاً، إضافة إلى تحديد تأثيره في الخواص الريولوجية للعجين، وتصنيع البسكويت المدعّم بعديد السكاريد الكبريتي، وتقييمه من الناحية الحسية، وتحديد كفاءته كمادة مضافة إلى البسكويت بصفته المضادة للتأكسد.

## المواد والطريق

### المواد الكيميائية

تم تأمين المواد الكيميائية من المصادر التالية: ميثانول (99.9%), أستون(99.9%)، كلوروفورم(99%), ن-بوتانول(99.5%), الكزايوز(98%), الرامنوز(98%),الأرايبينوز(98%), الجلاكتوز(97%) من شركة Merck الألمانية؛ هلام الترشيح سيفادكس ج - 100, كاشف فولين سيو كالتو، ألبومين المصل البقرى، بروميد البوتاسيوم، مركب DPPH، مركب ABTS من شركة Sigma اليابانية؛ سفات الصوديوم أحادي الهيدروجين، سفات البوتاسيوم ثانوي الهيدروجين من شركة KSFE الماليزية؛ حمض الكبريت من شركة Panreac الإسبانية؛ حمض البوريك وبودرة الجيلاتين من شركة Scharlau الألمانية؛ الفينول من شركة Suttolk إنكلترا؛ كلوريدي الباريوم ووسط تنمية الطحالب من شركة Fluka سويسرا؛ سفات البوتاسيوم من شركة Qualikems الهندية؛ كلوريدي الصوديوم تحليلي من شركة Surechem إنكلترا؛ الترولكس 99% من شركة Cayman Asia chemical هولندا؛ كربونات الصوديوم الهيدروجينية chemical الصينية؛ حمض الأسكوربيك وأمونيوم بيرسفات من شركة Dolar kimya الأمريكية.

### جمع العينات، التصنيف، العزل والإكثار

جمعت عينات الطحالب من مياه نهر الأوج (ينبع من جبل الشيخ في بلدة عرنة، طوله 70 كم ويرمي مساحة قدرها 745 هكتار)، في بلدة جديدة عرطوز ربيع 2021، على عمق 20

حيث استعملت كعامل لزوجة، مثخن قوام، تكتل، تبلور، تهلّم، وتغليف (Muthukumar *et al.*, 2021).

تتميز عديدات السكاريد الكبريتية المستخلصة من الطحالب البنية (الفوكوبيدان) بفعالية مضادة للورم، مضادة للتخرّر، مضادة للفيروسات، كما تم التحري عن فاعليتها المضادة للتأكسد المستخلصة من الطحالب الحمراء استعملت كمادة حافظة، مضادة للتأكسد، مضادة للالتهاب، مضادة للتخرّر، مضادة للميكروبات: الفيروسات، البكتيريا، الفطريات Ismail and Amer, 2021)، وتمت الإشارة إلى استعمال عديد السكاريد Cladophora الكبريتي المستخلص من الطحالب الأخضر *glomerata* في مجال التطبيقات الطبية، الصيدلانية، الغذائية ومستحضرات التجميل، كما أمكن تحويلها إلى الإيثانول (Munir *et al.*, 2019)، و الكلاموفورا طحالب خضراء واسعة الانتشار في سوريا، تتميز بمحتوها الكمي العالي من البروتين، الدهون و الكربوهيدرات، والنوعي من الأحماض الأمينية، الأحماض الدهنية و السكريات البسيطة (Jasem *et al.*, 2021).

وأمكن استخلاص عديد السكاريد منه باستعمال مذيبات مختلفة، ووصفت بأنها ذات فعالية مضادة للتأكسد (Jasem 2022). الأولافان هو عديد سكاريد كبريتى والذي يتم استخراجه من الطحالب الخضراء، يتكون من وحدات سكرية، أحماض بورانية و مجموعة السلفات، وللأولافان خواصه المضادة للميكروبات، والمضادة للتأكسد، كما أنه يقوم بتخفيف نسبة الكولستيرون (Cindana Mo'o *et al.*, 2020)، وقد أخبر عن إضافة الارابينوزايلن (arabinoxylan) ومتعدد السكاريد (oligosaccharides) (Giarnetti., et al., 2015; Sozer *et al.*, 2014). والمواد السكرية هي مواد محلية لكنها تستعمل كعامل منكه وملون، كما أن السكر يقوم بربط الماء وبالتالي يمنع نمو الميكروبات ويطيل بذلك فترة حفظ البسكويت (Sahin *et al.*, 2019).

في صناعة المخبوزات يتم استعمال السمن والزيت على نطاق واسع، هذا ويعرض الزيت خطورة عالية وذلك لإمكانية أكسدة الأحماض الدسمة الغير مشبعة إلى هيدروبيروكسيد

أما المحتوى البروتيني فكان التخلص منه عن طريق إضافة عامل سيفاج المكون من كلوروفورم : ن - بوتانول (4:1 جم/ حجم)، أُخضع المزيج بعد ذلك لعملية تثليل 4000 د/د مدة 15 دقيقة، حيث جرى التخلص من الجزء البروتيني ذي اللون الكريمي، أما الجزء الرائق فأخذ إلى حقيقة الديلزة مدة 48 ساعة، ورُسّب عديد السكارايد بإضافة 3 أحجام من الإيثانول النقي، تلاها جمع عديد السكارايد والتجفيف بالمبخر الدوار (60 °م، 110 د/د) حتى 10 % محتوى مائي.

### تنقية عديد السكارايد الكبريتى

أجريت تنقية عديد السكارايد الكبريتى وفقاً لطريقة بير وزملائه (Pier *et al.*, 1978)، مع بعض التعديلات وذلك بإذابة 0.5 غ من عديد السكارايد الكبريتى في 100 مل من الطور المتحرك (المحلول السُّفاطي الموقئي)، والمكون من 6.8 غ كلوريド الصوديوم و 1.48 غ فسفات الصوديوم أحادي الهدروجين و 0.43 غ فوسفات البوتاسيوم ثانوي الهدروجين في لتر واحد من الماء المقطر مع مراعاة ضبط pH على القيمة 7. بعد أن تم مزج عديد السكارايد مع محلول الموقئي أخذ من المزيج 3 مل وحمل على عمود الفصل الهلامي الكروماتوغرافي سيفادكس ج 100 (قطر العمود 2.5 X طوله 20 سم) بمعدل تدفق للطور المتحرك 1 مل/ دقيقة، حجم الجزء المفصول 700 ميكرولتر، حدد المحتوى من السكريات الكلية للأجزاء المفصولة بطريقة فينول حمض الكبريت، جمعت الأجزاء المفصولة المكونة للقمر، والتي أعطت أعلى امتصاصيه على 490 نانومتر وجفت حتى محتوى مائي 10%.

**تحديد المجاميع الفعالة في الأجزاء المفصولة المكونة للقمر بالأشعة تحت الحمراء القرمزية**  
استعملت الأشعة تحت الحمراء للكشف عن المجاميع الفعالة بمزج 2 مغ من كل قطعة جافة مع بروميد البوتاسيوم، وضغطت على هيئة أقراص بسماكمة 1 مم وفحست بالأشعة تحت الحمراء Fourier transforms infrared spectroscopy باستعمال جهاز FT-IR-4200 type A-C077661018 بهدف تحديد المجموعات الفعالة (Song *et al.*, 2018).

سم، حيث كانت الطحالب متصلة طرفيًا بالصخور وحرة من الطرف الآخر، ونقلت إلى مختبر الأحياء الدقيقة والطحالب في قسم علم الحياة النباتية بجامعة دمشق، غسلت بالماء المقطر عدة مرات بهدف إزالة الأتربة والمواد العالقة، وتم تحديد الطحلب مورفولوجيًّا باستعمال المجهر الضوئي (Prescott, 1970)، جرى الحصول على عزلات نقية للطحلب حسب نظام الدفعية الواحدة، وذلك بزرع الخيوط الطحلبية ضمن وسط تربية Algae Culture Broth والتنمية في ظروف المختبر الآتية: وضع 10 غ من الطحلب في وورق وإضافة 100 مل وسط التربة إليها، مع مراعاة ضخ هواء مستمر 16 ساعة إضاءة : 8 ساعات ظلام، وشدة الإضاءة 1800 لوكس، كما ضُبطت درجة الحموضة 8 = pH، وبدرجة حرارة 23 °م (John, 2005). جرى الحصاد في مرحلة النمو المستقر (طور الثبات)، وكان إثاثه ضمن الأحواض المفتوحة مع إمكانية التحكم في نسب P/N لغرض إنتاج الكتلة الخلوية (Ramaraj and Dussadee, 2015).

### استخلاص عديد السكارايد الكبريتى وتنقيةه وتوصيفه الاستخلاص

استخلاص عديد السكارايد من الطحلب *Cladophora fracta* الفيزيائية في قسم الكيمياء - كلية العلوم - جامعة دمشق (Champa *et al.*, 2016)، بالاشتراك مع طريقة الاستخلاص المتعاقب (Song *et al.*, 2018)، بهدف الحصول على مردود عالي النقاوة؛ بإذابة مسحوق الطحلب الجاف بالأستون 70%؛ 30:1 غ/مل وتوضع ضمن حمام الأمواج فوق الصوتية Ultrasonic Cleaner model:ps-60ar (jeken, 360 w,40khz-China درجة حرارة 40 °م، زمن 120 دقيقة، وبعد إنجاز معاملة الاستخلاص بالأمواج فوق الصوتية أجري الاستخلاص المتعاقب بتطبيق عملية التثليل 5000 د/د مدة 10 د، بعد ذلك جمع الجزء الطافي وأُجري ترسيب لعديد السكارايد على هيئة كُريات Pellets بإضافة ثلاثة أحجام من الإيثانول المطلوب، وإعادة إذابة الكرات بالماء المقطر ونزع محتواها من الدهون بإضافة مزج من الأستون: والكلوروفورم (1: 3 حجم/حجم)،

### التحري عن الخواص الريولوجية للعجين

استعمل دقيق القمح القاسي ذو نسبة الاستخراج 72%， وتم التحري عن الخواص الريولوجية للعجين باستعمال جهاز OHG, Duisburg, Germany (Brabender AACC) اعتماداً على الطريقة المعتمدة من قبل AACC رقم 21-54 لعام (2000)، وذلك بخلط عديد السكارايد الكبريتى المنقى (F1 و F2) بنسب مختلفة (مع مراعاة عمل شاهد مع 150 غ دقيق قمح، ونمث إضافة الماء لكل عينة حتى الوصول إلى خط 500 برابندر، وضبط حرارة الخلط على 30 م°. كما تم تحديد تأثير إضافة عديد السكارايد الكبريتى المنقى على المرونة والمطاطية للعجين باستعمال جهاز الإكستسونغراف بعد أزمة تخرم 90,45, 135 دقيقة وعلى درجة حرارة 30 م°، مع مراعاة عمل مكرران لزمن التخرم 135 دقيقة، وذلك اعتماداً على الطريقة المعتمدة من قبل AACC رقم 10-54 لعام 2000، وذلك في مخبر بحوث سبية التابع للمؤسسة العامة للحبوب - سوريا.

### تحضير البسكويت

أُجري تحضير البسكويت باستعمال 46.5 % دقيق القمح، 23 % سكر، 20 % زبدة، 10 % ماء، 0.5 % كربونات الصوديوم الهيدروجينية (Baking powder) يضاف عديد السكارايد الكبريتى المنقى (F2) بمعدل 0.5 % ، 1.5 % إلى الدقيق (وزن/وزن)، مع مراعاة عمل شاهد بدون أي إضافة، درجة حرارة الخبز 125 م° مدة 35 دقيقة، وأعطي التسمية SPs Biscuit عليه، تعنى عينات البسكويت في أكياس بلاستيكية مختومة وتحفظ على درجة حرارة الغرفة وبعيداً عن أشعة الشمس (Abd El Baky et al., 2015).

### التحري عن الفعالية المضادة للتآكسد للبسكويت

أخذ 0.2 غرام من كل عينة من عينات البسكويت ومزج بمقادير 1.5 مل الماء الثنائي التقطير وذلك بمساعدة المحرك المغناطيسي وعلى درجة حرارة استخلاص 45 م° مدة 5 دقائق، بعد ذلك وضع المزيج على درجة حرارة 4 م° مدة نصف ساعة تلاها إجراء عملية تتبيل على سرعة 4500 د/د مدة 10 د، تم ترشيح المزيج جمع الجزء الطافي في حين تم إعادة استخلاص

### تحديد المكونات الكيميائية والفعالية المضادة للتآكسد للأجزاء المفصولة المكونة للقمح

جرى تقدير المحتوى من السكريات الكلية الذوابة وفقاً لطريقة فينول حمض الكبريت (Dubois et al., 1956)، أما المحتوى البروتيني فقد قدر حسب طريقة لوري المعدلة (Slocombe et al., 2013) في حين قدر المحتوى من مجموعة السلفدريل وفقاً لطريقة سوزا (Souza et al., 2012). كما تم تقدير الفعالية المضادة للتآكسد لعديد السكارايد الخام والمنقى على تركيز 10 % بناءً على اختبار DPPH• (Sun et al., 2014) وذلك حسب (1,2-diphenylpicrylhydrazyl) عند طول موجي 517 نانومتر.

$\text{Abs}_{\text{control}} - \text{Abs}_{\text{sample}} = \% \text{DPPH}^{\bullet}$

وبناءً على اختبار ABTS<sup>+</sup> ethylbenzothiazoline-6-sulphonicacid diammonium salt حسب (Nitha et al., 2010) عند طول موجي 734 نانومتر.  $\text{Abs}_{\text{control}} - \text{Abs}_{\text{sample}} = \% \text{ABTS}^{\bullet}$

$\text{Abs}_{\text{control}} - \text{Abs}_{\text{sample}} = \% \text{ABTS}^{\bullet}$

### تحديد السكريات البسيطة

من أجل تقدير الوحدات السكرية البسيطة المكونة لعديد السكارايد للأجزاء المفصولة منه الناتجة عن التنقية بهلام الترشيح لابد من إجراء حلمة له باستعمال حمض الكبريت وفقاً للطريقة التي ذكرها كاي (Cui et al., 2018)، حددت السكريات البسيطة باستعمال الكرومتوغرافيا السائلة عالية الأداء High Performance Liquid Chromatography [HPLC – refractive index detectors(RID) model 2414، باستعمال طريقة Xu مع بعض التعديل وهي باختصار العمود  $\text{NH}_2(250 * 4.40 \text{ مم})$ ، درجة حرارة العمود والكافش 30 م°، الطور المتحرك الأستونترينيل: الماء 15:85، معدل التدفق 1 مل/د، زمن نهاية التجربة 20 د، حجم الحقلة 20 ميكرولتر، المحاليل العيارية للسكريات البسيطة تم الحصول عليها من شركة سيغما، وحضرت بتركيز 50-0.5 مغ/ مل، تم حقنها بالفلتر 0.45 ميكرون (Xu et al., 2015).

**تعيين مؤشرات اللون (L,a,b) للبسكويت المدعم بعديد السكارايد الكبريتني المنقى:**  
Bilgicli باستعمال جهاز Hunter Lab حسب ماذكره (and Levent, 2014)

**التقييم الحسي للبسكويت**  
جرى تقييم الخواص الحسية للبسكويت المدعم بعديد السكارايد الكبريتني المنقى (F2) من قبل ثمانية أستاذة وباحثين في جامعة دمشق الذكور والإإناث من ذوي الخبرة في مجال التقييم الحسي، وذلك وفقاً للطريقة الموصوفة من قبل (Larmond, 1991) مع بعض التعديلات، وذلك باستعمال طريقة المقياس ذو التسع نقاط، تم إعطاء كل معاملة رمزاً محدداً، حيث شرب كل محكم كأس من الماء المقطر بين كل عينة وأخرى مع الأخذ بالعلم أن الاختبار جرى في نفس الزمن لجميع المحكمين وبنفس ظروف الإضاءة والتلوية، حيث تم تقييم الشكل العام، الطعم، اللون، الرائحة، القوام، درجة الهشاشة والاستساغة. اعتبرت القيم من 1 حتى 5 مرغوفة في حين كانت القيم 6: مقبول، 7: جيد، 8: جيد جداً، 9: ممتاز.

### التحليل الإحصائي

نفذت كل الاختبارات بواقع مكرران، وكان التعبير عن النتائج بالقيمة المتوسطة مع الانحراف المعياري، وأجري التحليل الإحصائي باستعمال برنامج التحليل الإحصائي SPSS الإصدار 20، واستعمل اختبار تحليل التباين لإيجاد الفروق المعنوية بين المعاملات المختلفة عند 1%.

## Results and Discussion

### وصف الططلب

ظهر الططلب من النوع *Cladophora fracta* على هيئة خيوط عديدة الخلايا متفرعة بشكل قليل وغير منتظمة ومتعرّبة، تأخذ الخلايا الشكل الأسطواني المتراوّل (الشكل 1)، الصانعات الخضراء ذات مظهر شبكي، يكون طول الخلية بحدود 425 ميكرومترأً، وتم تصنيفه وفقاً لدراسة بريسكوت (Prescott, 1970).

الراسب بنفس الظروف المذكورة سابقاً (Conforti and Patrignani, 2021) والثاني وأخضع لتقدير الفعالية المضادة للتآكسد خلال مدة حزن البسكويت مدة شهر.

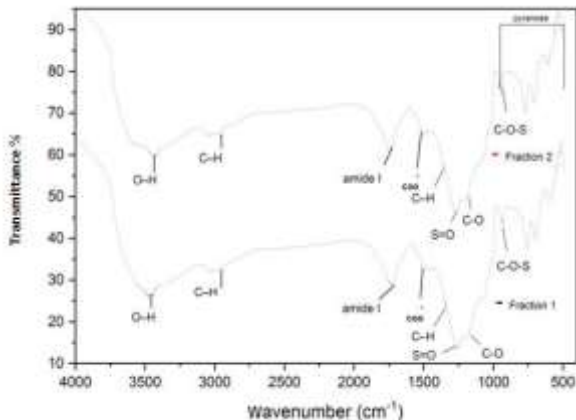
### المقدرة على كنس الجذور الحرة اعتماداً على اختبار DPPH<sup>•</sup>

تم تحضير العينة وذلك بأخذ 2 مل من مستخلص كل عينة بسكويت، وأضيفت إلى 2 مل من محلول DPPH<sup>•</sup> بتركيز قدره 0.1 ملي مول (3.94 مع في 100 مل ميثانول)، حضن المزيج على درجة حرارة الغرفة مدة نصف ساعة في الظلام وجرى قياس الامتصاصية على طول موجي على 517 نانومترأً. وحضر محلول المقارنة (الكتنرول) هو 1 مل محلول + 1 مل ميثانول بنفس الظروف السابقة والبلانك هو الميثانول، استعمل حمض الأسكوربيك بتركيز مختلف كمحمل للمقارنة الإيجابي. تم تحديد التركيز الذي يضمن تثبيط 50% من الجذور الحرة (Sun et al., 2014).

### المقدرة على كنس الجذور الحرة اعتماداً على اختبار ABTS<sup>+</sup>

تم تحضير 7 ملي مول من مركب ABTS<sup>+</sup> 0.0364 غ مذاب في 10 مل ماء ثاني التقطير، وأضيف إليه 5.59 أمونيوم بيرسلفات ليصبح تركيزه 2.45 ملي مول، تم حضن هذا المزيج لمدة 16 ساعة على درجة حرارة الغرفة 26°C وفي الظلام، بعد ذلك مدد ذلك محلول بمحلول الفسفاتي الموقفي وحضن مدة 6 دقائق، بعدها جرى القياس عند طول الموجة 734 نانومترأً واستمر التمدد بحذر حتى الحصول على امتصاص ضوئي 0.70 عند طول الموجة 734 نانومتر. أضيف 10 ميكرولتر من كل مستخلص إلى 1 مل من محلول ABTS<sup>+</sup> وحضن مدة 6 دقائق بعدها جرى القياس عند طول الموجة 734 نانومتر. وحضر محلول المقارنة (الكتنرول) هو 1 مل محلول ABTS<sup>+</sup> الممدد والبلانك هو محلول الفسفاتي الموقفي، استعمل الترولوكس بتركيز مختلف كمحمل للمقارنة الإيجابي. تم تحدي قيمة IC<sub>50</sub> التركيز الذي يضمن تثبيط 50% من الجذور الحرة (Nitha et al., 2010).

1660 سـ<sup>-1</sup> يشير إلى وجود الأمين الأولي والتي تدل على وجود البروتين، وإن الاهتزاز المط غير المتماثل للكربوكسيلات C=O لوحظ عند الطول الموجي 1624-1613 سـ<sup>-1</sup>، وتشير إلى وجود الأحماض البيورانية. وإن التردد المط عند الطول الموجي 1250-1256 سـ<sup>-1</sup> يشير إلى وجود استر السلفات، ويشير التردد المط عند الطول الموجي 1074-1071 سـ<sup>-1</sup> إلى زمرة الإيثير الدالة على وجود الرابطة الغليكوزيدية، وإن التردد المنحني عند الطول الموجي 847 سـ<sup>-1</sup> يشير إلى مجموعة السلفات (C-O-S)، كما أن وجود القمم عند الأطوال الموجية 900-600 سـ<sup>-1</sup> تشير إلى وجود وحدات البيرانوس Boulet *et al.*, 2007; Peasura *et al.*, 2015; Song *et al.*, 2018; He *et al.*, 2021 .

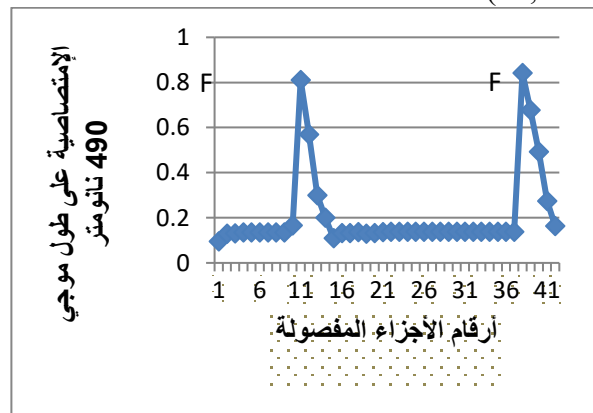


**الشكل 2:** طيف الأشعة تحت الحمراء القريبة للقطفين 1 و 2 لعديد السكارايد الكبريتى المستخلص من طحلب الماء العذب *Cladophora fracta*.

#### مكونات عديد السكارايد المنقى

يُلاحظ من الجدول 1 أن انخفاض المحتوى السكري الكلي ترافق مع انخفاض المحتوى البروتيني، ويُلاحظ وجود البروتين حتى بعد الترشيح بالهلام، فالبروتين يكون مرتبطاً مع جدر الخلية باستر السلفاھدريل الذي يكون شحنة قوية تجذب شحنة البروتين الإيجابية (Peasura *et al.*, 2015) ، تميزت القمة الثانية F2 بمحتوى أعلى من الكربوهيدرات والسلفات مقارنة بالقمة الأولى F1، كما تعتبر هذه القمة هي الانقى بسبب

تنقية عديد السكارايد الكبريتية وتحديد مكوناته، وخواصه المضادة للتآكسد كان المردود من عملية الاستخلاص 12.2 %، بعدها أجريت تنقية عديد السكارايد الكبريتى الخام المستخلص من طحلب *Cladophora fracta* بهلام الترشيح للحصول على مركب نقى ذي مواصفات قياسية، وتم تحديد القمم بناءً على المحتوى من السكريات الكلية، تألفت القمة الأولى F1 من الأجزاء المفصولة من الرقم 11 إلى 14، والقمة الثانية F2 من الأجزاء المفصولة من الرقم 38 إلى 42 (الشكل 1)، ويتحقق ذلك مع نتائج عدد من الأبحاث (Pier *et al.*, 1978; Song *et al.*, 2018).



**الشكل 1:** الأجزاء المفصولة الناتجة عن تنقية عديد السكارايد الكبريتى الخام المستخلص من طحلب *Cladophora fracta* باستعمال هلام الترشيح Sephadex gel G-100.

#### تفسير طيف الأشعة تحت الحمراء

يوضح الشكل 2 طيف الأشعة تحت الحمراء لكل من القمتين الناتجة عن تنقية عديد السكارايد الكبريتى الخام، ويوضح الشكل 2 أن لكل من القمتين طيف الأشعة تحت الحمراء نفسه مع وجود فروق بسيطة فيما يخص الطول الموجي، إذ إن الاهتزاز المط لزمرة الهيدروكسيل O-H عند الطول الموجي 3419 - 3410 سـ<sup>-1</sup> التي تشير إلى وجود الكربوهيدرات، كما ظُجد الاهتزاز المط للألكيل عند الطول الموجي 2925-2910 سـ<sup>-1</sup>، في حين أن التردد المنحني كان عند الطول الموجي 1360 سـ<sup>-1</sup>، وإن وجود القمة عند الطول الموجي

كنس الجذور الحرة بناءً على اختبار ABTS<sup>+</sup> ترافق مع ازدياد نسبة الأحماض الاليورانية وذلك يتنق مع دراسة سابقة (Jasem et al., 2021).

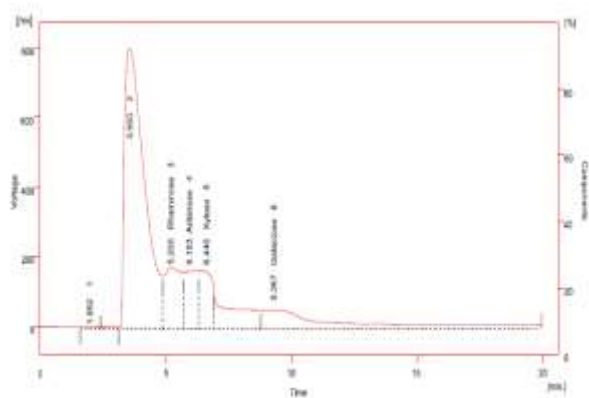
محتواها المنخفض من البروتين 1.38%. كما نلاحظ من خلال الجدول 1 أن ارتفاع مقدرة عديد السكارايد الكبريتى الخام والمنقى على كنس الجذور الحرجة بناءً على اختبار DPPH ترافق مع ازدياد نسبة السلفات، وعلى النقيض من ذلك فكان ارتفاع مقدرة عديد السكارايد الكبريتى الخام والمنقى على

**الجدول 1:** التركيب الكيميائي والخواص المضادة للتآكسد لعديد السكارايد الكبريت الخام والمنقى (F1 و F2) على أساس 10% رطوبة.

المكونات	السكريات الكلية (%)	البروتين (%)	السلفات (%)	أحماض يورانية (%)	DPPH (%)	ABTS (%)
السكر الخام	±0.00316.17	±0.0023.8	±0.00359.7	C	34±0.09	7±0.01
القمة الأولى F1	±0.00360.06	2.41±0.002	±0.00155.8	A	35±0.05	18±0.00
القمة الثانية F2	68.2±001	±0.002381.	9.5±0.001	B	35.3±0.09	12±0.01

إن وجود حرف كبيرة متشابهة في نفس العمود يشير إلى عدم وجود فروق معنوية عند  $p < 0.01$ .

شائعاً في طحالب المياه المالحة والعزبة Kidgell *et al.*, (2019).



### الشكل 3: التحليل الكروماتوغرافي بتقنية HPLC لعديد السكارايد الكبريتى المنقى

**السكريات البسيطة المكونة لعديد السكارايد:**

كانت السكريات البسيطة المكونة لعديد السكارايد المنقى F1 و F2 (بناءً على الفصل باستعمال كروماتوغرافيا السائلة عالية الاداء) هي: الجلاكتوز 11.8 %، الرامانوز 10.9 %، الكزابيلوز 10.3 % والارابينوز 12.9 % (الشكل 3). إن عديد السكارايد المستخلص من الطحالب الخضراء يدعى بالألوان وهو سكر كبريتني متعدد غير متجانس، والذي يتكون من ارتباط كلًا من سكر الرامانوز والكزابيلوز مع الأحماض اليوترانية (الجلورونيك أو الإيبيدورونيك) لتكون أربعة أنواع للألوان بناءً على موقع الارتباط؛ ويستعمل الرنين المغناطيسي النووي لغرض تحديد موقع الارتباط تلك (Arata *et al.*, 2017)، إضافة إلى ذلك توجد كميات بسيطة من سكر الجلوكوز، الجلاكتوز والمانوز والتي تختلف في تواجدها ضمن عديد السكارايد هذا باختلاف بيئته نمو الطحالب. يعتبر هذا التركيب

## تأثير عديد السكارايد الكبريتني على الخواص الريولوجية

الجدول 2: مؤشرات الفارينوغراف للعجين المدعم بنسب مختلفة من عديد السكارايد الكبريتني (SPs) المنقى

الرقم الفالوريمترى (%)	ضعف (برابندر)	ثبات (دقيقة)	تكون (دقيقة)	امتصاص (%)	نسبة إضافة SPs (%)	المصدر
52±1 <sup>f</sup>	80±2.5 <sup>f</sup>	3.6±0.36 <sup>a</sup>	3.9±0.36 <sup>a</sup>	61.5±0.2 <sup>cd</sup>	0	شاهد
53.4±0.57 <sup>c</sup>	91.7±2.88 <sup>c</sup>	3.3±0.15 <sup>ab</sup>	3.7±0.40 <sup>a,b</sup>	61.9±0.1 <sup>cd</sup>	0.5	
59±2 <sup>c</sup>	122.5±5 <sup>b</sup>	3.0±0.00 <sup>ab</sup>	3.1±0.08 <sup>a,b</sup>	62.4±0.17 <sup>c</sup>	1	
62±2 <sup>a</sup>	130±0.00 <sup>a</sup>	2.1±0.08 <sup>b</sup>	2.2±0.08 <sup>b</sup>	64.8±0.2 <sup>a</sup>	1.5	
52.3±0.57 <sup>f</sup>	91.7±2.88 <sup>c</sup>	3.15±0.15 <sup>ab</sup>	3.6±0.36 <sup>a</sup>	61.6±0.0 <sup>cd</sup>	0.5	القمة الاولى F1
56±1 <sup>d</sup>	110±0.00 <sup>d</sup>	2.7±0.31 <sup>ab</sup>	3.1±0.08 <sup>ab</sup>	61.2±0.26 <sup>d</sup>	1	
60±1 <sup>b</sup>	120±2.5 <sup>c</sup>	2.3±0.00 <sup>b</sup>	2.25±0.22 <sup>b</sup>	63.6±0.1 <sup>b</sup>	1.5	

ان وجود أحرف صغيرة متشابهة في نفس العمود شير الى عدم وجود فروق معنوية عند.  $p < 0.01$

كمية ماء إضافية حتى يصل العجين على خط 500 برابندر (Graça *et al.*, 2018). كما أخبر جوي وزملائه أن عوامل الإرجال تعمل على تخفيض زمن تطور العجين وثباته (Skendi *et al.*, 2021).

وبناءً على مؤشرات الفارينوغراف – زمن التطور و زمن الثبات؛ نلاحظ أن إضافة عديد السكارايد الكبريتني المنقى (F1) و F2 بنسبة 1.5 % جعل دقيق القمح يقع ضمن التصنيف المتوسط القرة (Williams, 1997). إن إضافة عديد السكارايد الكبريتني المنقى أدت إلى تغير في تركيب العجين أثناء عملية الخلط وبالتالي تغير طبيعة توزع الماء ضمن العجين مما أدى إلى زيادة امتصاص الماء، انخفاض زمن تطور وثبات العجين وارتفاع درجة ضعفه مما يؤدي إلى إضعافه وجاءت هذه النتائج مشابهة لما وجدته Guo (2021) و زملائه عند إضافة الجلوتاثيونين.

لوحظ من خلال الجدول 2 أن إضافة عديد السكارايد الكبريتني المنقى (F1 و F2) أدى إلى زيادة في بعض مؤشرات الفارينوغراف مثل امتصاص الماء، ودرجة ضعف العجين والرقم الفالوريمترى، وتفرق في ذلك معاملات القمة الثانية F2 على معاملات القمة الأولى F1؛ 63.6 %، 120 برابندر، 60 % على الترتيب، وفي كلا القمتين ترافقت هذه الزيادة بزيادة نسبة إضافة عديد السكارايد الكبريتني المنقى. وأدت إضافة عديد السكارايد الكبريتني المنقى إلى انخفاض في مؤشرات زمن تطور العجين و زمن ثباته مقارنةً مع دقيق القمح بدون إضافة عديد السكارايد الكبريتني المنقى (شاهد) ذو زمن تطور وثبات أعلى 3.9 و 3.6 دقيقة على التوالي، وليس هنالك فروق ذات دلالة إحصائية بين معاملات القمتين. مما تقدم نجد أن امتصاص الماء زاد بزيادة نسبة إضافة عديد السكارايد؛ حيث أن زيادة نسبة إضافة عديد السكارايد تزيد من عدد الوحدات السكرية المضافة وبالتالي زيادة عدد ذرات الهيدروكسيل وذلك يتفق مع Xhabiri *et al.*, (2014) ومن جهة أخرى فإن عديد السكارايد يشوبه البروتين المرتبط، وبالتالي وجود عديد السكارايد المشوب بالبروتين بالإضافة إلى جلوتين القمح تطلب

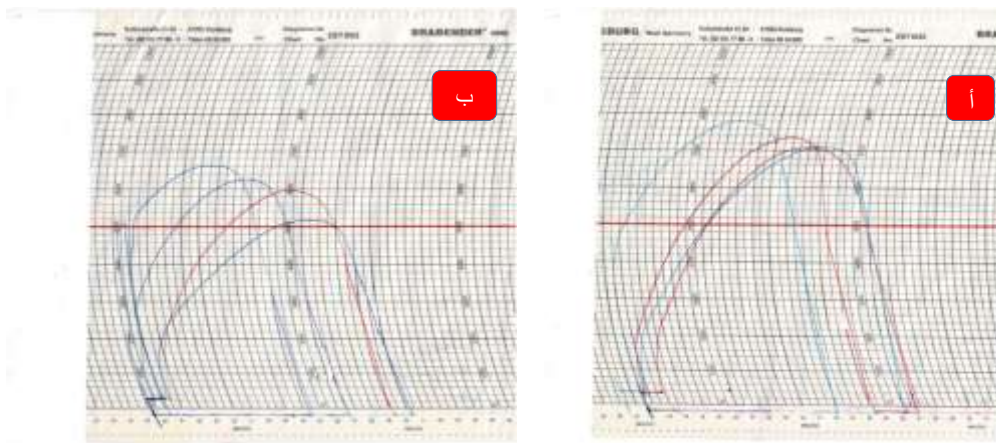
**الجدول 3: مؤشرات الإكسنتسوغراف للعجين المدعم بنسب مختلفة من عديد السكارايد الكبريتني (SPs) المنقى**

القوة (سم <sup>2</sup> )	مطاطية	مرنة (مم)	المقاومة العظمى للشد (برايندر)	مقاومة شد (برايندر)	نسبة إضافة SPs	المصدر
105±3 <sup>a</sup>	2.31±0.010 <sup>a</sup>	150±1 <sup>c</sup>	350.66±3.81 <sup>a</sup>	231.66±1.44 <sup>b</sup>	0	الشاهد
96±2.3 <sup>b</sup>	1.82±0.031 <sup>a</sup>	131.33±0.57 <sup>g</sup>	240±5.0 <sup>b</sup>	230.83±2.88 <sup>b</sup>	0.5	
81±2.27 <sup>d</sup>	1.62±0.006 <sup>a</sup>	142.33±1.50 <sup>e</sup>	231.66±2.88 <sup>c</sup>	215±2.5 <sup>d</sup>	1	
50.6±2.25 <sup>f</sup>	1.20±0.032 <sup>b</sup>	158 ±2 <sup>b</sup>	190±7.5 <sup>e</sup>	182.5±5 <sup>e</sup>	1.5	
91±2 <sup>c</sup>	1.67±0.012 <sup>a</sup>	136.33±0.57 <sup>f</sup>	240±2.5 <sup>b</sup>	232.5±0.00 <sup>a</sup>	0.5	
77±2 <sup>e</sup>	1.58±0.034 <sup>a</sup>	145±0.00 <sup>d</sup>	230.00±5 <sup>d</sup>	216.66±1.44 <sup>c</sup>	1	
43.5±1.5 <sup>g</sup>	1.18±0.008 <sup>b</sup>	160±1 <sup>a</sup>	190.00±2.5 <sup>f</sup>	174.66±2.88 <sup>f</sup>	1.5	

ان وجود حرف صغيرة متشابهة في نفس العمود يشير إلى عدم وجود فروق معنوية عند  $p < 0.01$ .

المساحة من 80 وحتى 120 سم<sup>2</sup> دقيق متوسط القوة أما المساحة أقل من 80 سم<sup>2</sup> تعبّر عن العجين الضعيف Parate et al., 2016). تقرّح النتائج المتحصل عليها أن إضافة عديد السكارايد الكبريتني المنقى أدت إلى انخفاض في قيم المطاطية وزيادة لزوج العجين مقارنة بالشاهد كما هم موضح في الشكل 4، حيث أن إضافة عديد السكارايد الكبريتني أدت إلى ضعف شبكة الغلوتين وبالتالي ضعف العجين وذلك يتفق مع دراسة سابقة، ويمكن تعليق ذلك إلى التفاعلات الغلوتين واستر السلفات في عديد السكارايد الكبريتني والتي أدت إلى تعديل الرابطة من النمط S-S في الغلوتينين إلى النمط SH-SS (Ooms and Delcour, 2019).

نلاحظ من الجدول 3 وجود تأثير واضح لإضافة عديد السكارايد الكبريتني المنقى (F1 و F2) على مؤشرات الإكسنتسوغراف، حيث ترافق ازدياد المرنة بازدياد تركيز عديد السكارايد الكبريتني المنقى المضاف مما يشير إلى ازدياد ضعف العجين، حيث وجد أعلى قيمة للمرنة 160 وحدة برايندر عند نسبة الإضافة 1.5 % للقمة الثانية (F2)، كما أدت إضافة عديد السكارايد الكبريتني المنقى إلى انخفاض في بقية مؤشرات الإكسنتسوغراف في كلا القمتين وزادت هذه الانخفاضات بزيادة تركيز عديد السكارايد المنقى، وكان الانخفاض الأكبر في معاملات القمة الثانية F2 وتم تأكيد ذلك إحصائياً، فكانت لمقاومة الشد 174.66 برايندر، المقاومة العظمى للشد 190 برايندر، المطاطية 1.18، القوة 43.5 سم<sup>2</sup>. كما نلاحظ من الجدول 3 أن أعلى قيمة لمقاومة العظمى للشد 350.66 برايندر كانت في عينات الشاهد، حيث أنه يعتبر من الدقيق متوسط القوة في حين أدت عملية الإضافة إلى تراجع تصنيف الدقيق إلى مرتبة الدقيق الضعيف وذلك حسب ويلميز (Williams, 1997)، وتعرف القدرة بأنها المساحة تحت المنحنى وتعطي فكرة عن قوة العجين الشكل، حيث تعتبر



الشكل 4: تأثير إضافة عديد السكاريد الكبريتى المنقى على مؤشرات الإكستنسوغراف: أ: دقيق بدون إضافة، ب: دقيق مضاد إليه عديد السكاريد الكبريتى

معاملة الشاهد والمعاملة التي استعمل معها عديد السكاريد الكبريتى مضاد (%) ، ويعود ذلك إلى حصول تفاعل ميلارد خلال عملية خبز البسكويت ويتحقق ذلك مع نتائج الباحث حسين وزملاؤه (Hussein *et al.*, 2010).

**التغيرات اللونية للبسكويت المدعم بعديد السكاريد الكبريتى**  
أدى تدعيم البسكويت بعديد السكاريد الكبريتى إلى خفض قيمة L ورفع قيمة (a و b)، أي إن ارتفاع نسبة عديد السكاريد الكبريتى المضافة أدى إلى جعل البسكويت أكثر قاتمة مقارنة بعينة الشاهد (على الرغم من عدم وجود فروق معنوية بين

الجدول 4: التغيرات اللونية للبسكويت المدعم بعديد السكاريد الكبريتى.

*b	*a	*L	المكونات
18.3±0.13 C	0.46±0.005 C	79.2±0.25 A	الشاهد
18.12±0.18 C	0.46±0.01 C	78.8±0.20 A	%0.5
19.3±0.21 BC	0.52±0.55 B	76.4±0.12 B	%1
20.9±0.26 A	0.56±0.70 A	74.6±0.10 C	%1.5

ان وجود أحرف كبيرة مختلفة ضمن العمود نفسه يشير إلى وجود فروق معنوية عند  $p<0.01$

\*L: درجة اللمعان (lightness/darkness)

\*a: درجة اللون الأحمر (redness/greenness)

\*b: درجة اللون الأصفر (yellowness/blueness)

**نتائج التقييم الحسي:**

يتضح من خلال الشكل 5 وجود فروق بسيطة بين العينات التجريبية من حيث اللون، وبشكل عام يمكن القول إن عينة البسكويت التي استعمل معها عديد السكارايد الكبريتى المنقى F2 بنسبة 1.5% هي الأكثر اسمراراً. إلا أنها ضمن النطاق الطبيعي.

**الشكل 5:** البسكويت المدعم بعديد السكارايد الكبريتى بنسب مختلفة

**الجدول 5:** نتائج التقييم الحسي للشكل العام للبسكويت المدعم بعديد السكارايد الكبريتى المنقى (F2) (بنسبة مختلفة).

أنثى		ذكر		المعاملة
كبير	متوسط	كبير	متوسط	
7±1.4 <sup>a</sup> C	<sup>a</sup> 76.5±0. AB	<sup>a</sup> 4.1±7 B	7±0.0 <sup>a</sup> B	شاهد
8±1.4 <sup>ab</sup> B	7.5±0.7 <sup>b</sup> A	7.5±0.7 <sup>b</sup> AB	±0.7 <sup>a</sup> 8.5 A	% 0.5
8±0.0 <sup>a</sup> B	6±1.4 <sup>b</sup> B	8±0.0 <sup>a</sup> A	8±1.4 <sup>a</sup> A	% 1
9±0.0 <sup>a</sup> A	6.5±0.7 <sup>b</sup> A	<sup>b</sup> 77.5±0. A	8±1.4 <sup>b</sup> A	% 1.5

وجود أحرف صغيرة متشابهة في نفس الصنف تشير إلى عدم وجود فروق معنوية عند  $p < 0.01$ .

وجود أحرف كبيرة متشابهة في نفس العمود تشير إلى عدم وجود فروق معنوية عند  $p < 0.01$ .

**الجدول 6.** نتائج التقييم الحسي لللون للبسكويت المدعم بعديد السكارايد الكبريتى المنقى (F2) (بنسبة مختلفة).

أنثى		ذكر		المعاملة
كبير	متوسط	كبير	متوسط	
7±1.4 <sup>b</sup> C	7.5±0.7 <sup>ab</sup> B	8±0.0 <sup>a</sup> A	7±0.0 <sup>b</sup> c	شاهد
7.5±0.7 <sup>b</sup> BC	8.5±0.7 <sup>a</sup> A	7±0.0 <sup>b</sup> B	±1.4 <sup>a</sup> 9 A	% 0.5
8±0.0 <sup>ab</sup> B	8±0.0 <sup>ab</sup> A	8.5±0.7 <sup>a</sup> A	<sup>b</sup> 08±0. B	% 1

$9 \pm 1.4^a$ A	$8 \pm 1.4^b$ A	$8 \pm 0.0^b$ A	$^{b}4.18 \pm$ B	% 1.5
--------------------	--------------------	--------------------	---------------------	-------

وجود أحرف صغيرة متشابهة في نفس الصنف تشير إلى عدم وجود فروق معنوية عند  $p < 0.01$ .

وجود أحرف كبيرة متشابهة في نفس العمود تشير إلى عدم وجود فروق معنوية عند  $p < 0.01$ .

**الجدول 7:** نتائج التقييم الحسي للطعم للبسكويت المدعم بعديد السكارايد الكبريتى المنقى (F2) (بنسب مختلفة).

أنثى		ذكر		المعاملة
كبير	متوسط	كبير	متوسط	
$7 \pm 0.0^b$ C	$7 \pm 0.0^b$ B	$8 \pm 0.0^a$ B	$8 \pm 1.4^a$ A	شاهد
$8 \pm 1.4^a$ B	$8.5 \pm 0.7^a$ A	$8 \pm 1.4^a$ AB	$8.5 \pm 0.7^a$ A	% 0.5
$9 \pm 1.4^a$ A	$8 \pm 0.0^b$ A	$8.5 \pm 0.7^{ab}$ A	$7 \pm 1.4^c$ B	% 1
$8 \pm 0.0^a$ B	$8 \pm 1.4^a$ A	$7.5 \pm 0.7^a$ B	$6.5 \pm 0.7^b$ B	% 1.5

وجود أحرف صغيرة متشابهة في نفس الصنف تشير إلى عدم وجود فروق معنوية عند  $p < 0.01$ .

وجود أحرف كبيرة متشابهة في نفس العمود تشير إلى عدم وجود فروق معنوية عند  $p < 0.01$ .

**الجدول 8:** نتائج التقييم الحسي للرائحة للبسكويت المدعم بعديد السكارايد الكبريتى المنقى (F2) (بنسب مختلفة).

أنثى		ذكر		المعاملة
كبير	متوسط	كبير	متوسط	
$8.5 \pm 0.7^a$ A	$8.5 \pm 0.7^a$ A	$8.5 \pm 0.7^a$ A	$8.5 \pm 0.7^a$ A	شاهد
$8.5 \pm 0.7^a$ A	$8.5 \pm 0.7^a$ A	$8.5 \pm 0.7^a$ A	$8.5 \pm 0.7^a$ A	% 0.5
$8.5 \pm 0.7^a$ A	$8.5 \pm 0.7^a$ A	$8.5 \pm 0.7^a$ A	$8.5 \pm 0.7^a$ A	% 1
$8.5 \pm 0.7^a$ A	$8.5 \pm 0.7^a$ A	$8.5 \pm 0.7^a$ A	$8.5 \pm 0.7^a$ A	% 1.5

وجود أحرف صغيرة متشابهة في نفس الصنف تشير إلى عدم وجود فروق معنوية عند  $p < 0.01$ .

وجود أحرف كبيرة متشابهة في نفس العمود تشير إلى عدم وجود فروق معنوية عند  $p < 0.01$ .

**الجدول 9: نتائج التقييم الحسي للقوام للبسكويت المدعم بعديد السكارايد الكبريتى المنقى (F2) (بنسبة مختلفة).**

أثنى		ذكر		المعاملة
كبير	متوسط	كبير	متوسط	
7±0.0 <sup>a</sup> C	7±1.4 <sup>a</sup> B	<sup>a</sup> 07±0. B	7±1.4 <sup>a</sup> B	شاهد
8±1.4 <sup>b</sup> B	8±0.0 <sup>b</sup> A	7.5±0.7 <sup>c</sup> B	9±0.0 <sup>a</sup> A	
8±0.0 <sup>b</sup> B	8.5±0.7 <sup>ab</sup> A	9±0.0 <sup>a</sup> A	8.5±0.7 <sup>ab</sup> A	% 0.5
9±1.4 <sup>a</sup> A	8.5±0.7 <sup>a</sup> A	7.5±0.7 <sup>b</sup> B	8.5±0.7 <sup>a</sup> A	% 1
				% 1.5

وجود أحرف صغيرة متشابهة في نفس الصنف تشير إلى عدم وجود فروق معنوية عند  $p < 0.01$ .وجود أحرف كبيرة متشابهة في نفس العمود تشير إلى عدم وجود فروق معنوية عند  $p < 0.01$ .**الجدول 10. نتائج التقييم الحسي للهشاشة للبسكويت المدعم بعديد السكارايد الكبريتى المنقى (F2) (بنسبة مختلفة).**

أثنى		ذكر		المعاملة
كبير	متوسط	كبير	متوسط	
7±1.4 <sup>a</sup> B	7±1.4 <sup>a</sup> B	7±0.0 <sup>a</sup> C	7±0.7 <sup>a</sup> B	شاهد
8.5±0.7 <sup>a</sup> A	8.5±0.7 <sup>a</sup> A	8±0.0 <sup>b</sup> B	9±0.0 <sup>a</sup> A	
8.5±0.7 <sup>b</sup> A	8±1.4 <sup>b</sup> A	9±1.4 <sup>a</sup> A	8.5±0.7 <sup>ab</sup> A	% 0.5
9±1.4 <sup>a</sup> A	8.5±0.7 <sup>a</sup> A	8.5±0.7 <sup>a</sup> AB	8.5±0.7 <sup>a</sup> A	% 1
				% 1.5

وجود أحرف صغيرة متشابهة في نفس الصنف تشير إلى عدم وجود فروق معنوية عند  $p < 0.01$ .وجود أحرف كبيرة متشابهة في نفس العمود تشير إلى عدم وجود فروق معنوية عند  $p < 0.01$ .**الجدول 11: نتائج التقييم الحسي للقبول العام (الاستساغة) للبسكويت المدعم بعديد السكارايد الكبريتى المنقى (F2) (بنسبة مختلفة).**

أثنى		ذكر		المعاملة
كبير	متوسط	كبير	متوسط	
7±1.4 <sup>a</sup> B	<sup>a</sup> 07±0. C	<sup>a</sup> 07±0. B	7±1.4 <sup>a</sup> B	شاهد
9±0.0 <sup>a</sup> A	9±0.0 <sup>a</sup> A	7.5±0.7 <sup>b</sup> B	8.5±0.7 <sup>a</sup> A	
				% 0.5

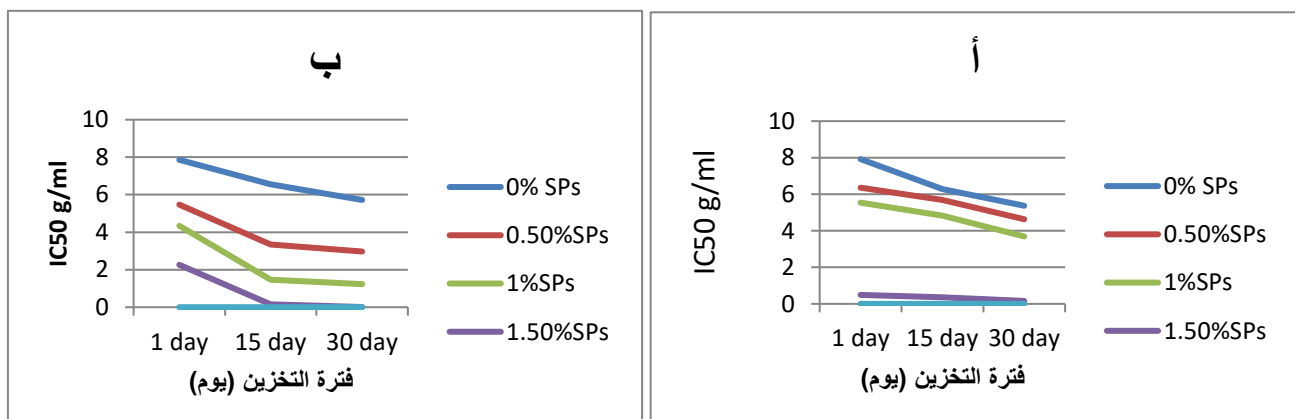
9±0.0 <sup>a</sup> A	9±1.4 <sup>a</sup> A	8.5±0.7 <sup>a</sup> A	8.5±0.7 <sup>a</sup> A	% 1
9±1.4 <sup>a</sup> A	8±1.4 <sup>b</sup> B	7.5±0.7 <sup>b</sup> B	8±1.4 <sup>b</sup> A	% 1.5

وجود أحرف صغيرة متشابهة في نفس الصنف تشير إلى عدم وجود فروق معنوية عند  $p < 0.01$ .  
وجود أحرف كبيرة متشابهة في نفس العمود تشير إلى عدم وجود فروق معنوية عند  $p < 0.01$ .

إحصائياً بين المعاملتين. كما نلاحظ من الجدول 9 و 10 ارتباط القوام مع الهشاشة لدى جميع المحكمين حيث أن المحكم الذي اختار معاملة ما على أنها الأحسن قواماً قام بفضل نفس المعاملة عند تقييم الهشاشة وذلك يتفق مع (Al-Marazeeq, 2017 and Angor, 2017)، وبالنسبة للرائحة لم يلاحظ تباين بين المعاملات يتفق مع (Ksuz and Karakas, 2016)، كما اتفق من جميع المحكمين أن المعاملة الثانية ذات نسبة الإضافة المنخفضة (1%) هي المعاملة الأفضل في نسبة القبول العام.

من خلال الجداول من 5 إلى 11 نلاحظ وجود تباين في آراء المحكمين من حيث تقييم بعض الخواص الحسية للبسكويت، حيث يعتبر الاختلاف في الآراء بالنسبة لللون والطعم من الأمور المتوقعة وذلك يتفق مع سان جوزيه، حيث يفضل المحكمون الشباب المعاملة الأولى ذات نسبة الإضافة المنخفضة (0.5%) وتم تأكيد ذلك إحصائياً وذلك يتفق مع (San Jose *et al.*, 2018) ، في حين أن المحكمين الكبار يفضلون المعاملتين الثانية والثالثة ذات اللون الغامق نوعاً ما وذلك يتفق مع (Kaur *et al.*, 2015) ، مع وجود فروق دالة

#### الفعالية المضادة للتوكسون للبسكويت



الشكل 6: الفعالية المضادة للتوكسون للبسكويت المدعم بعديد السكارايد الكبريتى المنقى: قيم التركيز الذى يؤمن كنس الجذور الحرة بنسبة 50 % (IC<sub>50</sub>) : أ - اعتماداً على اختبار DPPH ، ب - اعتماداً على اختبار ABTS<sup>+</sup>

المعاملات التجريبية 0.5 ، 1 ، 1.5 % ، يوضح الجدول أن أقل قيمة الـ (IC<sub>50</sub>) كانت في المعاملة التي استعمل معها 1.5 % بعديد السكارايد الكبريتى المنقى F2 حيث بلغت 0.49 غ/غ اعتماداً على اختبار DPPH و 2.26 غ/غ اعتماداً على اختبار

نلاحظ من الشكل 6 وجود تباين بين المعاملات المختلفة في قيم التركيز الذى يؤمن كنس الجذور الحرة بنسبة 50 % (IC<sub>50</sub>) في كلتا الاختبارين، حيث كان لمعاملة الشاهد أعلى قيم (IC<sub>50</sub>) طول فترة الخزن، في حين تباينت قيم الـ (IC<sub>50</sub>) ضمن

الخواص الريولوجية للعجين وفي بنية الغلوتين أثناء عملية الخلط والتلخمر والمعاملة الحرارية، وإن آلية عملها يكون على الشكل المعاكس لعوامل الأكسدة.

وكان الارتفاع الملحوظ في المرونة نتيجة التفاعل بين عديد السكارايد الكبريتني - غلوتين والذى جرى على النحو التالي: عند تحضير العجين يتمتص الغلوتين الماء المضاف، كما أن الألفة للماء التي يتميز بها عديد السكارايد الكبريتني عملت على زيادة امتصاص الماء؛ ما أدى إلى التنافس على امتصاص الماء بين الغلوتين وعديد السكارايد الكبريتني أثناء فترة تطور العجين وبالتالي فان ذلك سبب ضعف الشبكة الغلوتينية، كما يعود أيضاً إلى للتأثير المرجع لعديد السكارايد الكبريتني وذلك نتيجة لحصول تغير في الرابطة من ثنائية الكبريتيد إلى رابطة سلفدريل في الغلوتينين يؤدي إلى إضعاف العجين عن طريق انخفاض مطاطيتها وزيادة في مرونته وذلك نتيجة لتقليل الارتباط بين جزيئات البروتين(حيث تقوم بتخفيض الوزن الجزيئي في الغلوتينين) و لزيادة مرونة الروابط بين جزيئات الغلوتين. إن إضافة عديد السكارايد الكبريتني المنقى F2 إلى البسكويت كانت عملية ناجحة ولاقت قبولاً عاماً من الناحية الحسية وتتفوقت على عينة الشاهد، كما عملت هذه الإضافة على جعل هذا المنتج مؤهلاً لكي يصنف ضمن الأغذية الوظيفية وذلك لازدياد المقدرة على كنس الجذور الحرة في هذا المنتج مقارنة مع عينة الشاهد، وذلك نتيجة لكون هذا البلمر يتكون من وحدات سكرية، مجموعة السلفات وأحماض بورانية.

## التمويل Funding information

إن هذا البحث مستقل من أطروحة دكتوراه للباحث الأول، جامعة دمشق قامت بتمويل البحث وتوفير كافة التجهيزات المخبرية ومواد التحليل بالتعاون مع مختبر بحوث سبيبة التابع للمؤسسة العامة للحبوب – سوريا. ويجب التنوية إلى أن هذا البحث لم يحصل على تمويل من المؤسسات التجارية والربحية.

## تضارب المصالح و النزاعات | Disclosure and conflict of interest

يصرح الباحثون بأنه لا يوجد أي تضارب في المصالح.

## الاستنتاجات Conclusions

تعد عملية الحصول على عديد السكارايد الكبريتي من طلب *Cladophora fracta* عملية سهلة للغاية، ويمكن الاعتماد على تقنية الأشعة تحت الحمراء القريبة لوحدها في الكشف عن المجاميع الفعالة في هذا البلمر. وإن زيادة المجاميع القطبية في عديد السكارايد الكبريتي المنقى أدت إلى زيادة نسبة امتصاص الماء في الدقيق، كما يلاحظ أن زمن التطور يعكس مطاطية العجين، فقد أمكن الحصول على أخفض مطاطية للعجين مع أقل زمن تطور، في حين أن زمن الثبات يعكس المقاومة العظمى للشد، ففي حالة الغلوتين القوي يطول زمن الثبات وتحقق الصلابة الممتازة للعجين، حيث تبدي العجينة الضعيفة زمن تطور قصير ومقاومة عظمى للشد منخفضة، مع كل ذلك فقد أظهرت مؤشرات الإكتسوسغراف التغيرات الحاصلة على الدقيق بنحو أكثر مقارنة مع مؤشرات الفارينوغراف، إذ يمكن الاعتماد على قراءة قيمة المقاومة العظمى للشد فقط للحكم على نوع الدقيق، وعلى قراءة قيم القدرة فقط للحكم على قوة العجين. تقوم عوامل الإرجاع بالتأثير على

- Applied Sciences, 3(4).  
<https://doi.org/10.1007/s42452-021-04477-9>
- Bilgicli, N., and Levent, H. (2014). Utilization of Lupin (*Lupinus Albus L.*) Flour and Bran with Xylanase Enzyme in Cookie Production. *Legume Research*, 37 (3): 264-271.  
<https://doi.org/10.5958/j.0976-0571.37.3.040>.
- Borowitzka, M. A. (2013). High-value products from microalgae—their development and commercialisation. *Journal of Applied Phycology*. 25: 743 -756.  
<https://link.springer.com/article/10.1007/s10811-013-9983-9>
- Boulet, J.C., Williams, P., & Doco T.A.(2007). Fourier transform infrared spectroscopy study of wine polysaccharides. *Carbohydrate Polymers Journal*, 69: 79–85. doi: 10.1016/j.carbpol.2006.09.003.
- Caleja, C., Barros, L., Antonio, A. L., Oliveira, M. B. P. P., & Ferreira, I. C. F. R. (2017). A comparative study between natural and synthetic antioxidants: Evaluation of their performance after incorporation into biscuits. *Food Chemistry*, 216: 342–346.  
<https://doi.org/10.1016/j.foodchem.2016.08.075>.
- Champa, P., Whangchai, N., Jaturonglumlert, S., Nakao, N., & Kanda Whangchai, K. (2016). Determination of phytochemical compound from spirogyra sp. using ultrasonic assisted extraction. *International Journal of GEOMATE*, 11: 2391–2396.  
<https://cumuir.cmu.ac.th/jspui/handle/66539.43832/42623>.
- Chauhan, A., Saxena, D. C., & Singh, S. (2015). Total dietary fibre and antioxidant activity of gluten free cookies made from raw and germinated amaranth (*Amaranthus spp.*) flour. *Lebensmittel-Wissenschaft Und*

## REFERENCES

- AACC, American Association of Cereal Chemists. (2000). *Approved methods of the American Association of Cereal Chemists*. 10. ed. Saint Paul.
- Abd El Baky, H. H., El Baroty, G. S., & Ibrahim, E. A.(2015). Functional characters evaluation of biscuits sublimated with pure phycocyanin isolated from Spirulina and Spirulina biomass. *Nutricion Hospitalaria: Organo Oficial de La Sociedad Espanola de Nutricion Parenteral y Enteral*, 32(1): 231–241.  
<https://doi.org/10.3305/nh.2015.32.1.8804>.
- Abedi, E., & Pourmohammadi, K. (2020). The effect of redox agents on conformation and structure characterization of gluten protein: An extensive review. *Food Science Nutrition*, 8:6301–6319.  
<https://doi.org/10.1002/fsn3.1937>
- Al-Marazeeq, K. M., & Angor, M. M.(2017). Chemical characteristic and sensory evaluation of biscuit enriched with wheat germ and the effect of storage time on the sensory properties for this product. *Food and Nutrition Sciences*, 08(02): 189–195.  
<https://doi.org/10.4236/fns.2017.82012>
- Arata, P. X., Alberghina, J., Confalonieri, V., Errea, M. I., Estevez, J. M., & Ciancia, M. (2017). Sulfated Polysaccharides in the Freshwater Green Macroalga *Cladophora surera* Not Linked to Salinity Adaptation. *Frontiers in Plant Science*, 8.  
<https://doi.org/10.3389/fpls.2017.01927>.
- Bhuyar, P., Sundararaju, S., Rahim, M. H. A., Unpaprom, Y., Maniam, G. P., & Govindan, N. (2021). Antioxidative study of polysaccharides extracted from red (*Kappaphycus alvarezii*), green (*Kappaphycus striatus*) and brown (*Padina gymnospora*) marine macroalgae/seaweed. *SN*

- Huddersfield. available at <http://eprints.hud.ac.uk/id/eprint/23320/>.
- Delcour, J. A., Joye, I. J., Pareyt, B., Wilderjans, E., Brijs, K., & Lagrain, B. (2012). Wheat gluten functionality as a quality determinant in cereal-based food products. *Annual Review of Food Science and Technology*, 3: 469–492. <https://doi.org/10.1146/annurev-food-022811-101303>
- De Jesus Raposo, M. F., de Morais, A. M. M. B., & de Morais, R. M. S. C. (2014). Influence of sulphate on the composition and antibacterial and antiviral properties of the exopolysaccharide from *Porphyridium cruentum*. *Life sciences*, 101(1-2): 56-63. <https://www.sciencedirect.com/science/article/pii/S0024320514002550>.
- DuBois, M., Gilles, K. A., Hamilton, J. K., Rebers, P. A., & Smith, F. (1956). Colorimetric method for determination of sugars and related substances. *Analytical Chemistry*, 28(3): 350-356. <https://doi.org/10.1021/ac60111a017>.
- Giarnetti, M., Paradiso, V. M., Caponio, F., Summo, C., & Pasqualone, A . (2015). Fat replacement in shortbread cookies using an emulsion filled gel based on inulin and extra virgin olive oil. *Lebensmittel-Wissenschaft Und Technologie [Food Science and Technology]*, 63(1): 339–345. <https://doi.org/10.1016/j.lwt.2015.03.063>.
- Gouveia, L., Coutinho, C., Mendonça, E., Batista, A. P., Sousa, I., Bandarra, N. M., & Raymundo, A. (2008). Functional biscuits with PUFA-ω3 from Isochrysis galbana. *Journal of the Science of Food and Agriculture*, 88(5): 891–896. <https://doi.org/10.1002/jsfa.3166>.
- Graça, C., Fradinho, P., Sousa, I., & Raymundo, A. (2018). Impact of Chlorella vulgaris on the rheology of wheat flour dough and bread texture. *Lebensmittel-Wissenschaft Und Technologie [Food Science and Technology]*, 63(2): 939–945. doi.org/10.1016/j.lwt.2015.03.115
- Chen, H., Zhang, M., & Xie, B. (2004). Quantification of uronic acids in tea polysaccharide conjugates and their antioxidant properties. *Journal of Agricultural and Food Chemistry*, 52(11): 3333–3336. <https://doi.org/10.1021/jf0349679>
- Choi, D.-S., Athukorala, Y., Jeon, Y.-J., Senevirathne, M., Cho, K.-R., & Kim, S.-H. (2007). Antioxidant Activity of Sulfated Polysaccharides Isolated from *Sargassum fulvellum*. *Journal of Food Science and Nutrition*, 12: 65-73. doi:10.3746/jfn.2007.12.2.065.
- Cindana Mo'o, F. R., Wilar, G., Devkota, H. P., & Wathon, N. (2020). Ulvan, a polysaccharide from macroalgae *Ulva* sp.: A review of chemistry, biological activities and potential for food and biomedical applications. *Applied Sciences*, 10(16), 5488. <https://www.mdpi.com/2076-3417/10/16/5488>.
- Conforti, P. A., & Patrignani, M. (2021). Increase in the antioxidant content in biscuits by infusions or *Prosopis chilensis* pod flour. *Open Agriculture*, 6(1): 243–253. <https://doi.org/10.1515/opag-2021-0016>
- Cui, F.-J., Qian, L.-S., Sun, W.-J., Zhang, J.-S., Yang, Y., Li, N., Zhuang, H.-N., & Wu, D. (2018). Ultrasound-assisted extraction of polysaccharides from *Volvariella volvacea*: Process optimization and structural characterization. *Molecules (Basel, Switzerland)*, 23(7), 1706. <https://doi.org/10.3390/molecules23071706>
- Dahunsi, O. S. (2013). *Investigation of stress relaxation in hydrated gluten networks using spectral analysis*. Master's thesis, University of

- her\_app&utm\_medium=referral&utm\_campaign=n=RESR\_MRKT\_Researcher\_inbound
- Jasem, M.K., AL-MERAI, A.A., NIZAM, A.A.(2021). Studying the Possibility of Controlling the Nutrient Value and Biomass Production of Cladophora Crispata in Different Cultivating Medium (In Arabic). *Journal of Albaath University. Serial of Biological and Agriculture Science*, 43(23): 115- 144. <https://journal.albaathuniv.edu.sy/index.php/BUJBA/article/view/727>.
- Jasem, M.K., AL-MERAI, A.A., NIZAM, A.A & Alshaal, A. (2022). Characteristics and Antioxidant Potential of Sulfated Polysaccharides from Cladophora crispata. *Jordan Journal of Chemistry (JJC)*, 17(2): 91-101. <https://doi.org/10.47014/17.2.4>.
- John A. Long-Term Macroalgal Culture Maintenance In: Andersen R. (Ed.), *Algae Culturing Techniques*. San Diego. USA: Elsevier Academic Press; 2005.p.590. ISBN: 0-12-088426-7.
- Kaur, M., Sandhu, K. S., Arora, A., & Sharma, A. (2015). Gluten free biscuits prepared from buckwheat flour by incorporation of various gums: Physicochemical and sensory properties. *Lebensmittel-Wissenschaft Und Technologie [Food Science and Technology]*, 62(1): 628–632. <https://doi.org/10.1016/j.lwt.2014.02.039>.
- Kaushik, R., Sharma, N., Swami, N., Sihag, M., Goyal, A., Chawla, P., Kumar, A., & Pawar, A. (2019). Physico-chemical properties, extraction and characterization of gluten from different Indian wheat cultivars. *Research & Reviews: Journal of Crop Science and Technology*, 2(2): 37–42. <https://doi.org/10.37591/rrjocst.v2i2.2198>.
- Technologie [Food Science and Technology], 89: 466–474. <https://doi.org/10.1016/j.lwt.2017.11.024>.
- Guo, L., Fang, F., Zhang, Y., Xu, D., Jin, Z., & Xu, X. (2021). Glutathione affects rheology and water distribution of wheat dough by changing gluten conformation and protein depolymerisation. *International Journal of Food Science & Technology*, 56(7): 3157–3165. <https://doi.org/10.1111/ijfs.14806>.
- He, M., Yang, Y., Shao, Z., Zhang, J., Feng, C., Wang, L., & Mao, W. (2021). Chemical structure and anticoagulant property of a novel sulfated polysaccharide from the green alga Cladophora oligoclada. *Marine Drugs*, 19(10), 554. <https://doi.org/10.3390/md19100554>.
- Hussein, A. S., Ibrahim, G. S., Asker, M. M. S., & Mahmoud, M. G. (2010). Exopolysaccharide from Lactobacillus helveticus: identification of chemical structure and effect on biscuit duality. *Czech Journal of Food Sciences*, 28(3): 225–232. <https://doi.org/10.17221/97/2009-cjfs>.
- Imjongjairak, S., Ratanakhanokchai, K., Laohakunjit, N., Tachaapaikoon, C., Pason, P., & Waeonukul, R. (2016). Biochemical characteristics and antioxidant activity of crude and purified sulfated polysaccharides from *Gracilaria fisheri*. *Bioscience, Biotechnology, and Biochemistry*, 80(3): 524–532. <https://doi.org/10.1080/09168451.2015.1101334>
- Ismail, M. M., & Amer, M. S. J. A. B. B. (2021). Characterization and biological properties of sulfated polysaccharides of *Corallina officinalis* and *Pterocladia capillacea*. *Acta Botanica Brasilica*, 34: 623–632. avilble at: [https://www.scielo.br/j/abb/a/VY8FFSJmpL8jVMvCKv5jWLR/?lang=en&utm\\_source=researc](https://www.scielo.br/j/abb/a/VY8FFSJmpL8jVMvCKv5jWLR/?lang=en&utm_source=researc)

- Mamat, H. & Hill, S. E. (2018). Structural and functional properties of major ingredients of biscuit. *International Food Research Journal*, 25(2): 462-471. <https://www.researchgate.net/publication/325483823>
- Manohar, R. S., & Rao, P. H. (1997). Effect of mixing period and additives on the rheological characteristics of dough and quality of biscuits. *Journal of Cereal Science*, 25(2): 197–206. <https://doi.org/10.1006/jcrs.1996.0081>.
- Misra, N. N., Sullivan, C., Pankaj, S. K., Alvarez-Jubete, L., Cama, R., Jacoby, F., & Cullen, P. J. (2014). Enhancement of oil spreadability of biscuit surface by nonthermal barrier discharge plasma. *Innovative Food Science & Emerging Technologies: IFSET: The Official Scientific Journal of the European Federation of Food Science and Technology*, 26: 456–461. <https://doi.org/10.1016/j.ifset.2014.10.001>.
- Munir, M., Qureshi, R., Bibi, M., & Khan, A. M. J. A. R. (2019). Pharmaceutical aptitude of Cladophora: A comprehensive review. 39, 101476. <https://doi.org/10.1016/j.algal.2019.101476>.
- Muthukumar, J., Chidambaran, R., & Sukumaran, S. (2021). Sulfated polysaccharides and its commercial applications in food industries—A review. *Journal of Food Science and Technology*, 58(7): 2453-2466. <https://doi.org/10.1007/s13197-020-04837-0>.
- Nitha, B., De, S., Adhikari, S. K., Devasagayam, T. P. A., & Janardhanan, K. K. (2010). Evaluation of free radical scavenging activity of morel mushroom, *Morchella esculenta* mycelia: a potential source of therapeutically useful antioxidants. *Pharmaceutical Biology*, 48(4): 453–460. <https://doi.org/10.3109/13880200903170789>.
- Kidgell, J. T., Magnusson, M., de Nys, R., & Glasson, C. R. K. (2019). Ulvan: A systematic review of extraction, composition and function. *Algal Research*, 39(101422), 101422. <https://doi.org/10.1016/j.algal.2019.101422>
- Ksuz, T., & Karakas, B . (2016). Sensory and textural evaluation of gluten-free biscuits containing buckwheat flour. *Cogent Food & Agriculture*, 2(1). <https://doi.org/10.1080/23311932.2016.1178693>
- Kumar, N., Khatkar, B. S., & Kaushik, R. (2013). Effect of reducing agents on wheat gluten and quality characteristics of flour and cookies. *The Annals of the University “Dunărea de Jos” of Galați*, 37(2): 68–81. <https://doaj.org/article/14a562e2cb7541aeb3f2ed15eb01fbb4>
- Larmond, E. (1991). *Laboratory Methods for Sensory Evaluation of Food*. 2nd Edition, Canadian Department of Agriculture Publication, Ottawa. - references - scientific research publishing. Scirp.org. Retrieved October 1, 2022, from [https://www.scirp.org/\(S\(351jmbntvnsjt1aadkposzje\)\)/reference/ReferencesPapers.aspx?ReferenceID=1970874](https://www.scirp.org/(S(351jmbntvnsjt1aadkposzje))/reference/ReferencesPapers.aspx?ReferenceID=1970874).
- Leon, A. E., Ribotta, P. D., Ausar, S. F., Fernandez, C., Landa, C. A., & Beltramo, D. M. (2000). Interactions of different carrageenan isoforms and flour components in bread making. *Journal of Agricultural and Food Chemistry*, 48(7): 2634-2638. <https://pubs.acs.org/doi/abs/10.1021/jf991340a>.
- Liu, C.-Y., Shepherd, K. W., & Rathjen', A. J. (1996). *Improvement of durum wheat pastamaking and breadmaking qualities*. Cerealsgrains.org. Retrieved October 1, 2022, [https://www.cerealsgrains.org/publications/cc/backissues/1996/Documents/73\\_155.pdf](https://www.cerealsgrains.org/publications/cc/backissues/1996/Documents/73_155.pdf).

- Sahin, A. W., Zannini, E., Coffey, A., & Arendt, E. K. (2019). Sugar reduction in bakery products: Current strategies and sourdough technology as a potential novel approach. *Food Research International*, 126, 108583. <https://www.sciencedirect.com/science/article/pii/S0963996919304612>.
- Sandhu, H. P. S., Manthey, F. A., Simsek, S., & Ohm, J.B. (2011). Comparison between potassium bromate and ozone as flour oxidants in breadmaking. *Cereal Chemistry*, 88(1): 103–108. <https://doi.org/10.1094/cchem-06-10-0085>.
- San Jose, F. J., Collado-Fernández, M., & López, R. (2018). Sensory evaluation of biscuits enriched with artichoke fiber-rich powders (*Cynara scolymus L.*). *Food Science & Nutrition*, 6(1): 160–167. <https://doi.org/10.1002/fsn3.541>.
- Skendi, A., Seni, I., Varzakas, T., Alexopoulos, A., & Papageorgiou, M. (2021). Preliminary Investigation into the Effect of Some Bakery Improvers in the Rheology of Bread Wheat Dough. In *Biology and Life Sciences Forum*, 6(10): 73-87. <https://www.mdpi.com/2673-9976/6/1/73>.
- Slocombe, S. P., Ross, M., Thomas, N., McNeill, S., & Stanley, M. S. (2013). A rapid and general method for measurement of protein in microalgal biomass. *BioresourceTechnology*, 129: 51–57. <https://doi.org/10.1016/j.biortech.2012.10.163>
- Song, H., He, M., Gu, C., Wei, D., Liang, Y., Yan, J., & Wang, C. (2018). Extraction optimization, purification, antioxidant activity, and preliminary structural characterization of crude polysaccharide from an arctic Chlorella sp. *Polymers*, 10(3), 292. <https://doi.org/10.3390/polym10030292>.
- Souza, B. W. S., Cerqueira, M. A., Bourbon, A. I., Pinheiro, A. C., Martins, J. T., Teixeira, J. A., Coimbra, M. A., & Vicente, A. A. (2012).
- Ooms, N., & Delcour, J.A. (2019). How to impact gluten protein network formation during wheat flour dough making. *Current Opinion in Food Science*, 25 : 88–97. <https://doi.org/10.1016/j.cofs.2019.04.001>.
- Parate, V. R., Pathak, S. S., & Talib, M. I. (2016). Improvement in functional and rheological properties of gluten by enzyme treatment. *IOSR Journal of Environmental Science, Toxicology and Food Technology (IOSR-JESTFT)*. 10(11-2) PP 38-44. <https://doi.org/10.9790/2402-1011023844>.
- Peasura, N., Laohakunjit, N., Kerdchoechuen, O., & Wanlapa, S. (2015). Characteristics and antioxidant of *Ulva intestinalis* sulphated polysaccharides extracted with different solvents. *International Journal of Biological Macromolecules*, 81: 912–919. <https://doi.org/10.1016/j.ijbiomac.2015.09.030>.
- Pier, G. B., Sidberry, H. F., Zolyomi, S., & Sadoff, J. C. (1978). Isolation and characterization of a high-molecular-weight polysaccharide from the slime of *Pseudomonas aeruginosa*. *Infection and Immunity*, 22(3): 908–918. <https://doi.org/10.1128/iai.22.3.908-918.1978>.
- Plaza, M., Herrero, M., Cifuentes, A., & Ibanez, E. (2009). Innovative natural functional ingredients from microalgae. *Journal of Agriculture and Food Chemistry*. 2009, 57: 7159–7170. <https://pubs.acs.org/doi/abs/10.1021/jf901070g>.
- Prescott G.W. (1970). *Algae of the western great lake area*, 4th ed.1-700p. State University .Michigan. USA 47.
- Ramaraj R., Dussadee N. (2015). Biological purification processes for biogas using algae cultures: A Review. *International Journal of Sustainable and Green Energy*; vol.4,1-1, p:20-32.

- Williams, P. (1997). *Variety development and quality control of wheat in Canada: Characterization by functionality.* In Proceedings of the International Japanese conference on Near-Infrared Reflectance, Japan. <http://www.grainscanada.gc.ca/Cdngrain/VarietyDev/variety1-e.htm>.
- Xhabiri, G., Sinani, V., & Hoxha, I. (2016). The impact of the wheat bran on the quality of the biscuits and their nutritional value. *ANGLISTICUM. Journal of the Association-Institute for English Language and American Studies*, 3(3): 64–70. [https://doi.org/10.0001/\(aj\).v3i3.633](https://doi.org/10.0001/(aj).v3i3.633)
- Xu, W., Liang, L., & Zhu, M. (2015). Determination of sugars in molasses by HPLC following solid-phase extraction. *International Journal of Food Properties*, 18(3): 547–557. <https://doi.org/10.1080/10942912.2013.837064>
- Chemical characterization and antioxidant activity of sulfated polysaccharide from the red seaweed Gracilaria birdiae. *FoodHydrocolloids*, 27(2): 287–292. <https://doi.org/10.1016/j.foodhyd.2011.10.005>.
- Sozer, N., Cicerelli, L., Heiniö, R.-L., & Poutanen, K. (2014). Effect of wheat bran addition on in vitro starch digestibility, physico-mechanical and sensory properties of biscuits. *JournalofCerealScience*, 60(1): 105–113. <https://doi.org/10.1016/j.jcs.2014.01.022>.
- Sun, L., Wang, L., Li, J., & Liu, H. (2014). Characterization and antioxidant activities of degraded polysaccharides from two marine Chrysophyta. *Food Chemistry*, 160: 1–7. <https://doi.org/10.1016/j.foodchem.2014.03.067>.
- Sang Vo, T., & Kim, S.-K. (2013). Fucoidans as a natural bioactive ingredient for functional foods. *Journal of Functional Foods*, 5(1): 16–27. <https://doi.org/10.1016/j.jff.2012.08.007>.